

Raport stiintific sintetic 2011 - 2013

privind implementarea Obiectivelor Proiectului

PN-II-ID-PCE-2011-3-0128. CONTRACT Nr. 260 / 05.10.2011

Sinteza iterativa. Noi melamine dendritice care incorporeaza unitati serinolice.

Design, preparare, analiza structurala si potențiale aplicatii

in perioada 05.10.2011 – 20.10.2013

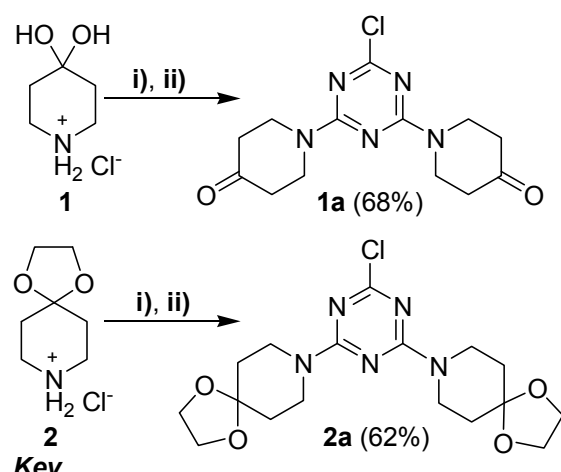
<http://chem.ubbcluj.ro/~darab/Projects.htm>

Pentru perioada din titlu, implementarea Proiectului a constat din investigarea a trei directii principale, noteate mai departe ca si **D-1**, **-2**, **-3** precum si a unora inedite. Ele insumeaza Obiectivele formulate in Propunerea de Proiect No. 566 / 04.05.2011, Tabelul 5 (Milestones, pag. 14, 15), Tabelul 6 (Work Plane – Objectives, pag. 15, 16).

D-1

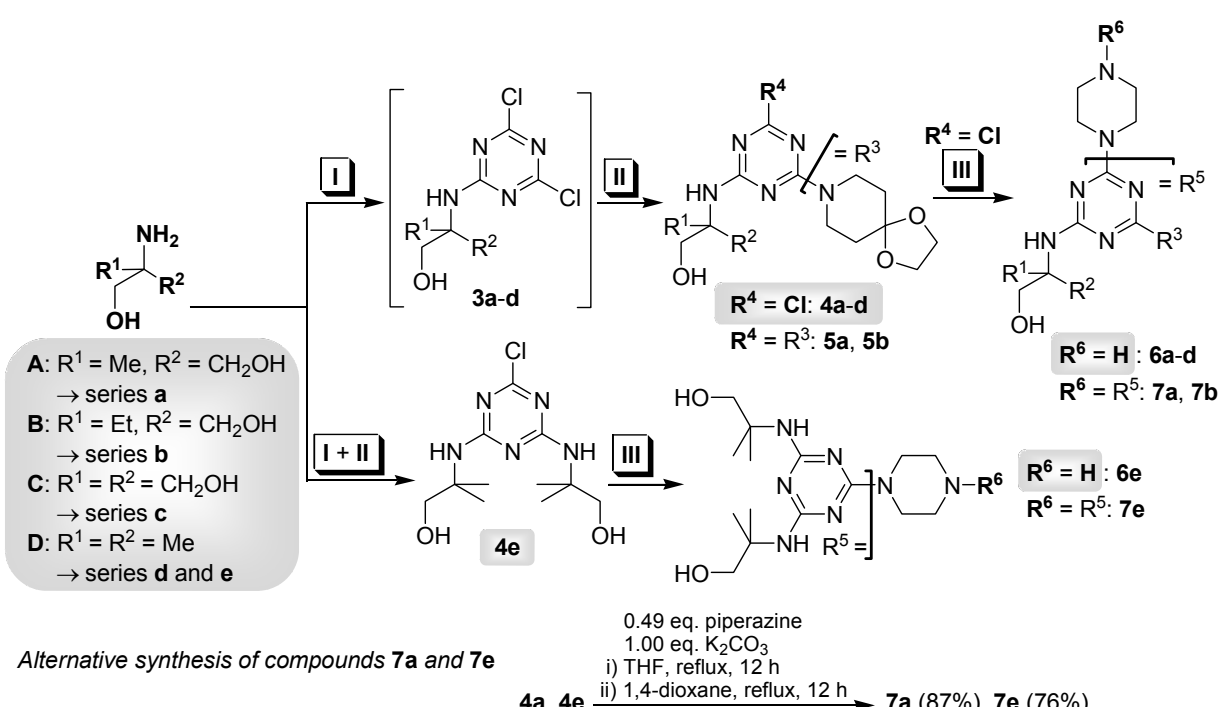
Design-ul, sinteza si structura unor noi melamine dendritice. Prima utilizare a unui tandem Serinol C-2 substituit / 4-piperidona O,O-protejata ca si unitati periferice in sinteza iterativa

Studiile sintetice si structurale preliminare au indicat fezabilitatea procesului iterativ propus de catre noi prin obtinerea de "molecule model" (Schema 1) si apoi *building-block*-uri de generatie G-0 (2-cloro-4,6-diamino-s-triazine N-substituite cu tandemul de aminonucleofili mentionati, si analogi melaminici) (Schema 2).



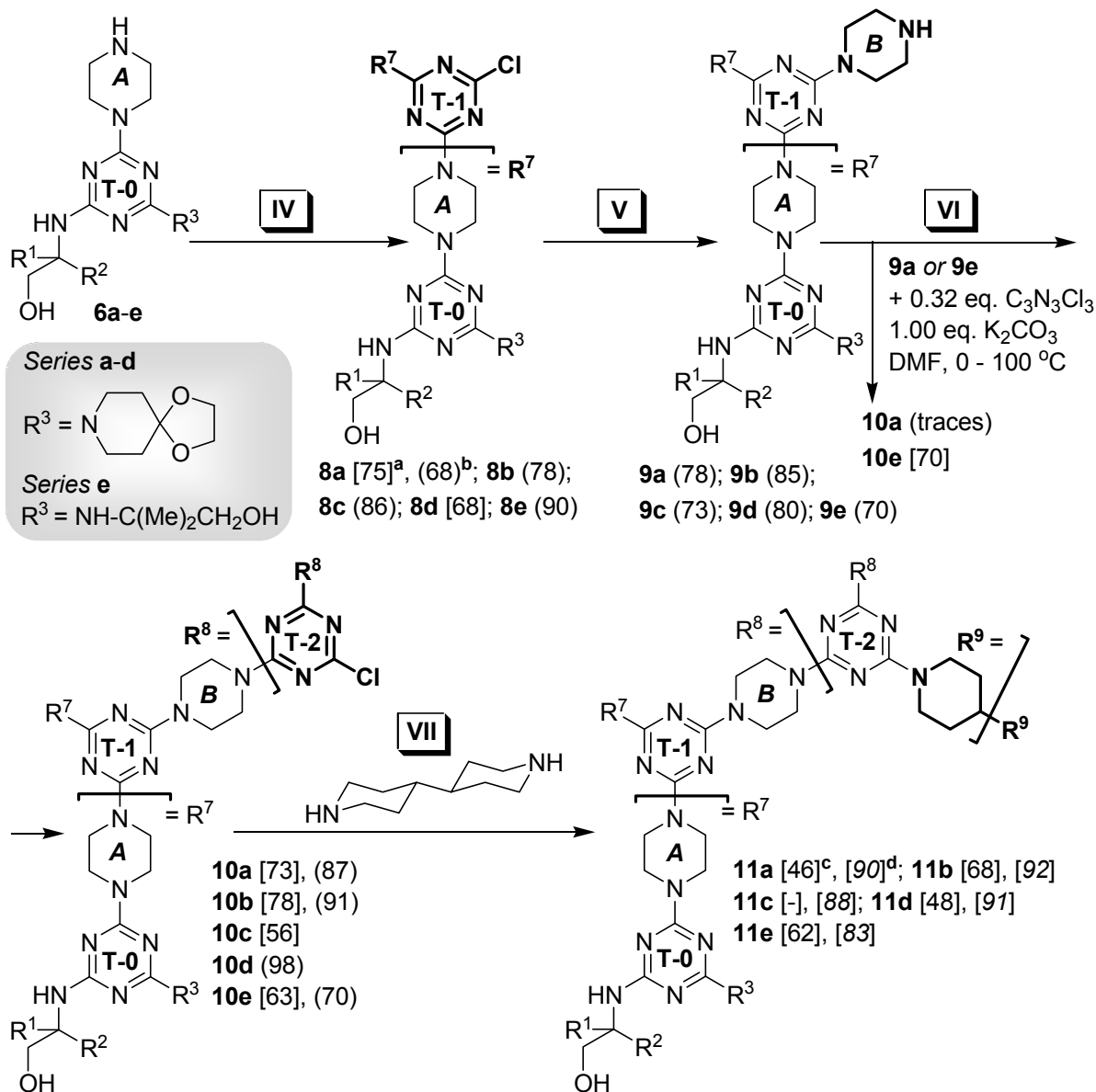
i) 0.5 eq. $\text{C}_3\text{N}_3\text{Cl}_3$, 2.0 eq. K_2CO_3 , THF + 10% H_2O ,
-10°C, 12 h.; ii) r.t., 24 h.

Schema 1



Schema 2

Mentionam necesitatea, neanticipata, a includerii in seria de dendrimeri imaginati **a-c** a doua noi serii, "neserinolice" **d** si **e**, la randul lor complet necunoscute in literatura, in scopul verificarii unor ipoteze structurale in etapa finala a cercetarii (vezi mai departe). Astfel, sinteza iterativa propriuzisa s-a realizat pornind de la dendronii melaminici G-0 **6a-e** (Schema 3).



^aIn square brackets: yield after isolation by column chromatography; ^bIn round brackets: yield after isolation by direct crystallisation; ^cIn series **11**: yields by neglecting the recovered as unreacted **10**; ^dConversions of **10**.

Key IV: i) 0.45 eq. $\text{C}_3\text{N}_3\text{Cl}_3$, 1.00 eq. K_2CO_3 , THF, (-10°C) → r.t., 12 h.; ii) 1,4-dioxane, reflux: 11 h. (**8a**), 12 h. (**8b**), 16 h. (**8c**), 8 h. (**8d**), 11 h. (**8e**).

V: 4.00 eq. piperazine, 1.00 eq. K_2CO_3 , 6×0.16 eq. **8a-e**, THF, reflux, 6×1.5 h.

VI: i) 0.48 eq. $\text{C}_3\text{N}_3\text{Cl}_3$, 1.00 eq. K_2CO_3 , THF. (-10°C) → r.t., 12 h., reflux, 16 h.; ii) 1,4-dioxane, reflux, 6 h.

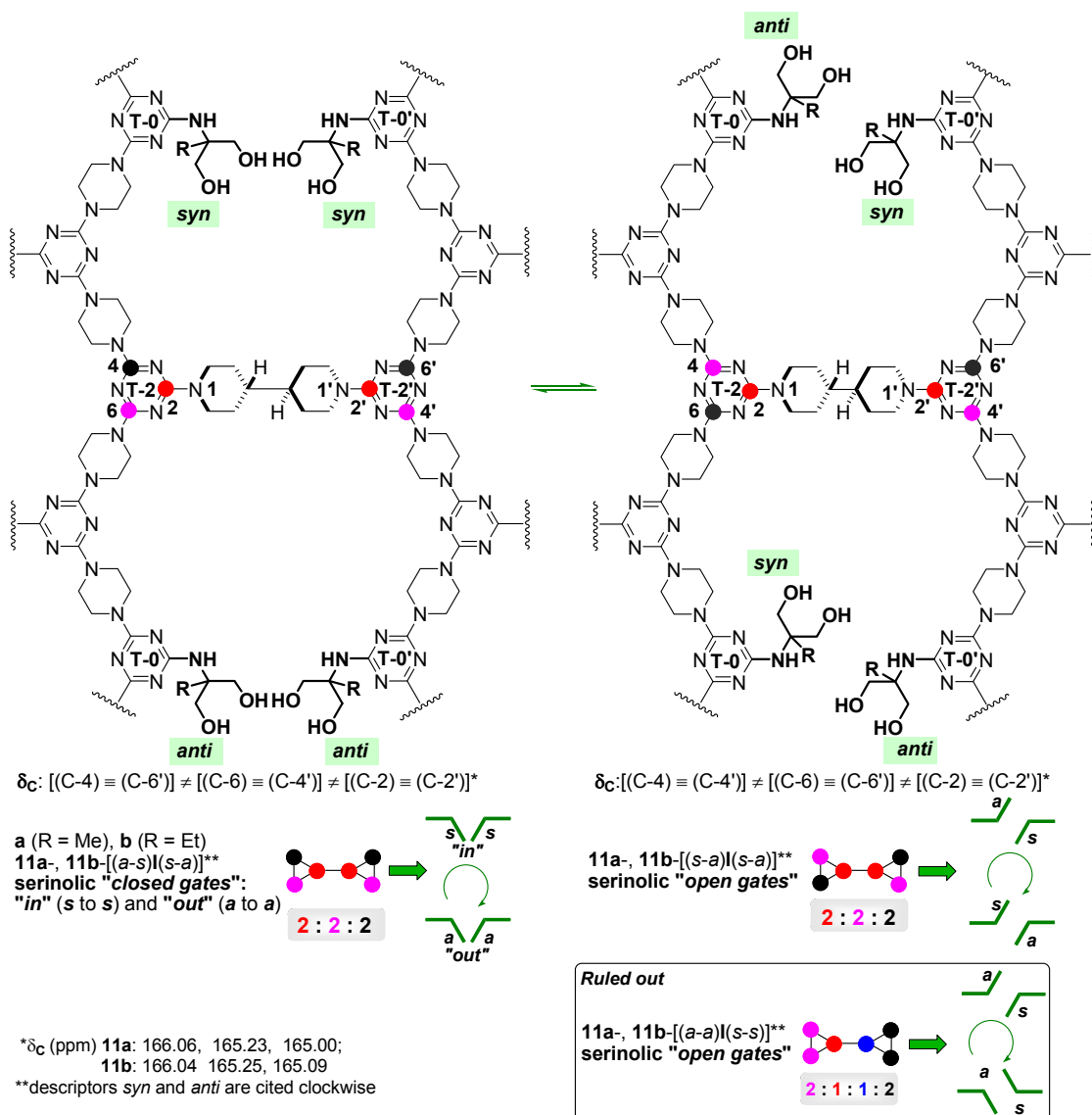
VII: 0.48 eq. 4,4'-bipiperidine, 1.00 eq. K_2CO_3 , DMF, 100°C, 36-72 h.

Schema 3

A fost astfel obtinuta, prin sapte iteratii (**I** → **VII**), o noua clasa de patru termeni de dimeri dendritici G-2 cu randamente globale bune (17 – 18%, **11a**, **11d** si **11e**) sau chiar neasteptat de bune (31%, **11b**). Cu toate acestea, esecul, chiar in etapa finala a dimerizarii (**VII**), in cazul tandemului de grupe periferice TRIS "c" / etilencetalul 4-piperidonei ramane neexplicat in etapa actuala a cunoasterii noastre.

Design-ul dendritic din Schema 3 este inedit. In fapt, el este rezultatul unor analize rotationale, in progresie structurala, asupra comportarii stereodinamice in jurul legaturilor partial duble C(s-triazina)-N(exociclic) a tuturor precursorilor dendritici G-0 → G-2. Faptul a facut posibila si definirea, potrivit unei nomenclaturi propuse de catre noi, a unor elementele topologice ale acestui tip de mobilitate (macro)moleculara. S-a reusit astfel demonstrarea unui nou tip de mecanism supramolecular, intitulat de catre noi *frontier rotamerism "open gates" ⇌ closed gates"*, descris in Schema 4.

Fenomenul, observabil pe scala de timp ^{13}QC RMN 150 MHz, implica orientarea preferentiala a unitatilor serinolice la "frontiera" dintre cele doua "jumatati monomerice" ale dendrimerului, dictata de catre "cotrafortii" spiropiperidinici, voluminosi. Intr-adevar, dendrimerul **11e** (Schema 3), lipsit de motivul spiropiperidinic nu a prezentat "rotamerismul de frontiera". In schimb, s-a dovedit foarte promitor in directia investigatiilor AFM care releva o organizare supramoleculara sub forma de dendrite (rezultate in curs de explorare).

**Schema 4****Rezultate livate:****i) Articole:**

"Amino-s-triazines. Synthesis and Stereochemistry of Restricted Rotational Phenomena (I). First Use of a C-2-Substituted Serinol in Tandem with Masked 4-Piperidone for Selective Amination of Cyanuric Chloride"

F. Popa, P. Lameiras, E. Henon, **O. Moldovan**, A. Martinez, **C. Bătiu**, Y. Ramondenc and **M. Darabantu***
Can. J. Chem. **2011**, 89(10), 1207-1221. <http://www.nrcresearchpress.com/doi/abs/10.1139/v11-075#>

"Design, Synthesis and Structure of New Dendritic Melamines. First Use of a Tandem C-2-Substituted Serinol – O,O-Masked 4-Piperidone as a Peripheral Unit in Iterative Synthesis"

F. Popa, P. Lameiras, **O. Moldovan**, M. Tomoaia-Cotisel, E. Henon, A. Martinez, **C. Sacalis**, A. Mocanu, Y. Ramondenc and **M. Darabantu***
Tetrahedron, **2012**, 68(43), 8945–8967. <http://dx.doi.org/10.1016/j.tet.2012.07.096>

ii) Academice

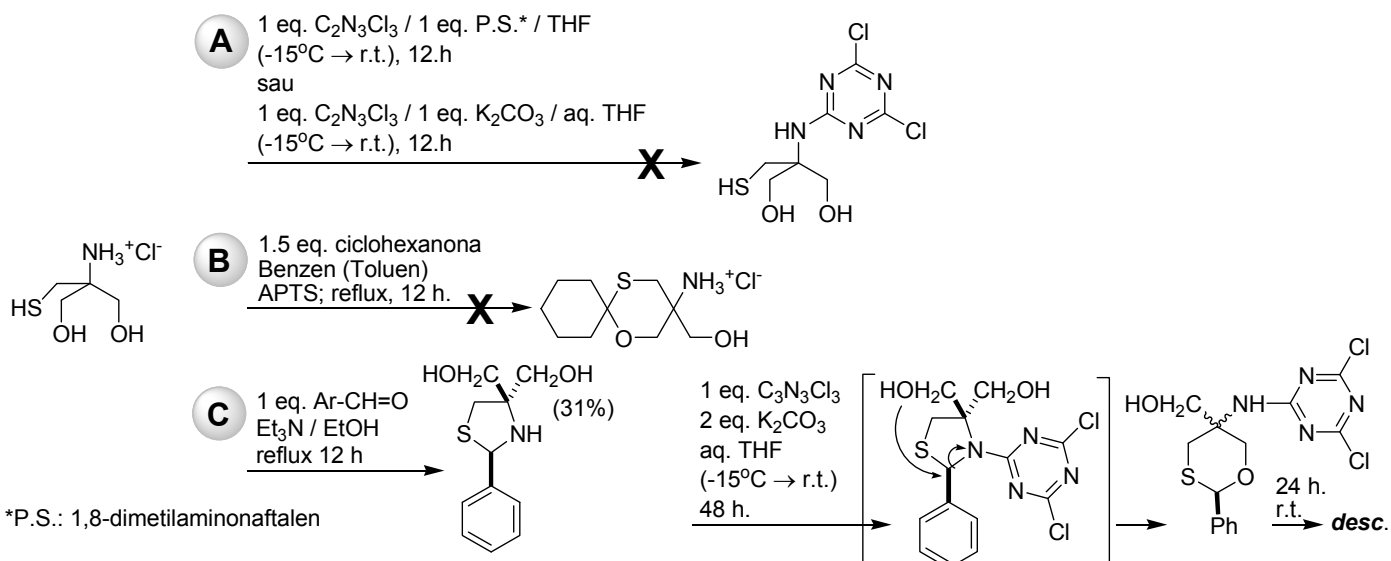
Lucrarile la care s-a facut referire constituie Capitol distinct din Teza de Doctorat in Cotutela a unui Membru al Echipei, ing. Flavia Adina POPA (cas. MARTIN) (sustinere publica, Juriu International, 29.03.2012, UBB Cluj-Napoca, Calificativul Doctoral acordat *Magna cum Laude*, OMECTS 5743 din 12.09.2012; originalul in Lb. Franceza).

Articolele si Teza de Doctorat ilustrarea si colaborarile internationale angajate in Propunerea de Proiect (Tabel 17, pag. 16).

D-2

Sinteza si stereochemia unor noi sisteme 1,3-tiazolidinice bazate pe 2-amino-2-(mercaptometil)propan-1,3-diol (2-hidroximetil-“cisteinol”): 4,4-bis(hidroximetil)-1,3-tiazolidine si c-5-hidroximetil-3-oxa-7-tia-r-1-azabiciclo[3.3.0]octani

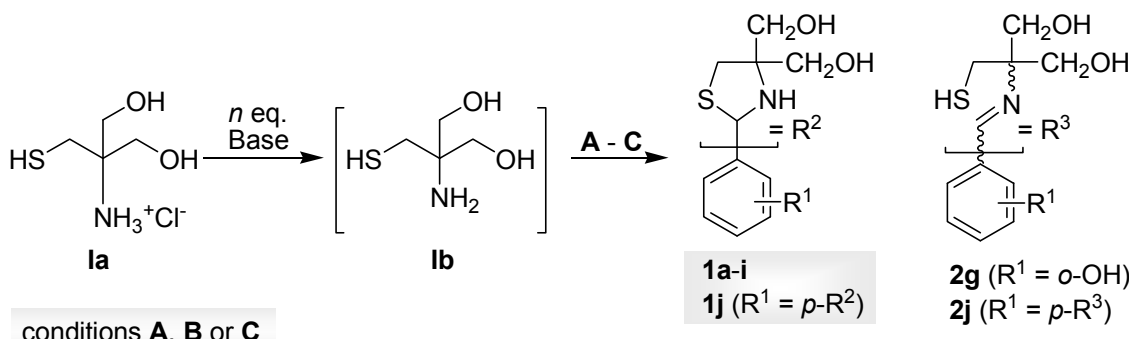
Utilizarea in sinteza iterativa a tioaminodiolului ("cisteinol") din titlul Obiectivului din Propunerea de Proiect nu s-a dovedit promitatoare (neinspirata?) datorita, cel mai probabil, instabilitatii sale redox mult prea accentuate in conditiile testate (Schema 5). Astfel, tentativa "clasica" de acrosare N- (S-?) nucleofila a aminei libere, generate *in situ*, pe clorura de cianuril (calea A) furnizat

**Schema 5**

un amestec complex de reactie in care structura urmarita nu a fost nici macar RMN detectata. Incercarea de "ciclocondensare spiranica" (calea **B**) s-a soldat doar cu izolarea materiilor prime nereactionate. Pe calea **C**, derivatul 2-fenil-1,3-tiazolidinic al "cisteinolului" (vazut ca si forma N-, S- protejata a acestuia) a reactionat cu clorura de cianuril dar intr-un mod neasteptat, produsul rezultat, probabil printre-o transpozitie intramoleculara, fiind izomerul 1,3-oxatianic (clar identificat prin RMN). Din pacate, acesta din urma s-a dovedit a fi instabil intr-o perioada scurta de timp.

Drept care, avand in vedere i) *consumurile si investitiile de materiale deja efectuate* ii) *manopera si* iii) *un screening rapid dar exhaustiv de literatura, s-a decis re-directionarea alternativa a Obiectivului* (Schema 6 - 8).

Astfel, a fost investigata, in premiera, ciclocondensarea dintre 2-amino-2-(mercaptopmetil)propan-1,3-diol ("cisteinol" **1b**, eliberat *in situ* din clorhidratul corespunzator **1a**) si o larga varietate de aril(di)aldehyde **a-i**, ca si fezabilitate si eficienta (Schema 6).

conditions **A**, **B** or **C**1 eq. (o-, m-, p-) $\text{R}^1\text{-C}_6\text{H}_4\text{-CH=O}$ **a-h** ($\rightarrow \mathbf{1a-h}, \mathbf{2g}$); 0.5 eq. $p\text{-C}_6\text{H}_4(\text{CH=O})_2$ **i** ($\rightarrow \mathbf{1i}, \mathbf{1j}, \mathbf{2j}$)**A**: 0.5 eq. K_2CO_3 aq. / Benzene / Dean-Stark trap / reflux / 6-8 h / N_2 **B**: 1.0 eq. Et₃N / EtOH / reflux / 8 - 10 h / N_2 **C**: 1.0 eq. Et₃N / EtOH / r.t. / 48 h / N_2

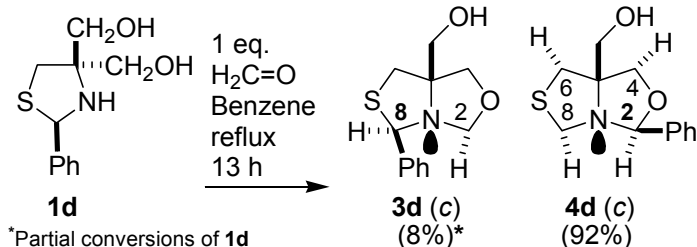
No.	R ¹	Method	Yield (%)	Isolation method
1a	<i>p</i> -O ₂ N	A	15	c.c. ^a
1b	<i>p</i> -Cl	C	36	d.c. ^b
1c	<i>p</i> -Br	C	55	d.c.
1d	H	A	51	c.c.
		C	52	d.c.
1e	<i>m</i> -HO	B	40	c.c.
1f	<i>p</i> -HO	B	40	c.c.
1g + 2g	<i>o</i> -HO	B	50	c.c. (1g : 2g / 72 : 28)
1h	<i>p</i> -Me ₂ N	B	44	c.c.
1i^c	<i>p</i> -O=CH	C	-	-
1j + 2j	<i>p</i> -R ²⁽³⁾	C	74 ^d	d.c. (1i : 1j : 2j / 5 : 94 : 1)

^acolumn chromatography. ^bdirect crystallisation. ^cSide product in the synthesis of **1j + 2j**^dAs total conversion of **1a** into **1i**, **1j** and **2j****Schema 6**

Seria de 2-aryl-1,3-tiazolidine "simple" si "duble" **1a-j** obtinuta, necunoscuta in literatura, a fost examinata din punct de vedere

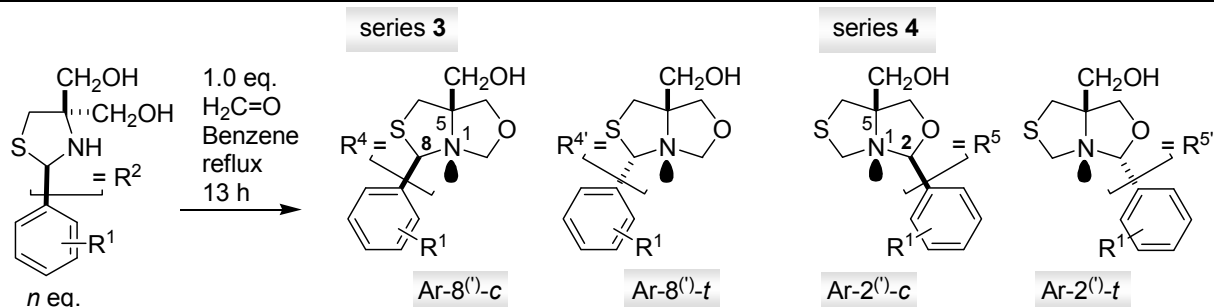
structural i) analiza conformatiionala si configurationala, ii) tautomerie inel-catena si iii) efecte anomericice bazate pe date ^1H -RMN / calcule DFT, stabilindu-se care anume ar trebui sa fie partenerul carbonilic optim, altul decat o aril(di)aldehida, pentru inchiderea unui al doilea ciclu, de data aceasta 1,3-oxazolidinic.

Prin tratarea seriei de 2-aryl-1,3-tiazolidine **1a-j** cu cantitati echimolare de formaldehida, a fost obtinuta, prin sinteza diastereoselectiva, prima serie de tiazolidin-oxazolidine singulare substituite in pozitia C-5 cu o grupare functionala exploataabila mai departe, hidroximetil. Exemple similare in literatura nu sunt cunoscute. Cu toate acestea, asa cum se arata in Schema 7, chiar experimentul considerat de catre noi ca si "test" a dat un rezultat surprinzator, si anume ciclocondensare inalt diastereoselectiva dar cu migrarea restului benzilic de pe inelul tiazolidinic (initial) pe cel oxazolidinic (nou creat).



Schema 7

In mod inca mai surprinzator, "rearanjarea benzilica" de mai sus nu a fost decat parcial regasita in cazul reactiei, in conditii identice, a restului seriei de 2-aryl-1,3-tiazolidine **1** avand inelului aromatic substituit, indiferent de natura electronica a substituentului donor sau acceptor (Schema 8).

Asteptat

$n = 1.0$ eq. **1a-c**, **1e-h** \rightarrow **3a-c**, **3e-h**; **4a-c**, **4e-h**; $R^1 = a$ ($p\text{-O}_2\text{N}$); **b** ($p\text{-Cl}$); **c** ($p\text{-Br}$); **e** ($m\text{-HO}$); **f** ($p\text{-HO}$); **g** ($o\text{-HO}$); **h** ($p\text{-Me}_2\text{N}$)
 $n = 0.5$ eq. **1j** ($R^1 = p\text{-R}^2$) \rightarrow **3j** ($R^1 = p\text{-R}^4$, $R^1 = p\text{-R}^{4'}$); **4j** ($R^1 = p\text{-R}^5$, $R^1 = p\text{-R}^{5'}$)

Gasit

Conversii pariale sau totale (%)	Compuși izomerici rezultăti (%)
1a \rightarrow 3a : 75	3a (c) 82 3a (t) 8
1a \rightarrow 4a : 8	4a (c) 6 4a (t) 4
1b \rightarrow descompunere amestec de reacție	
1c \rightarrow 3c : 92	3c (c) 96 3c (t) 4
1e \rightarrow descompunere amestec de reacție	
1f \rightarrow 3f : 79	3f (c) 93 3f (t) 7
1f \rightarrow 4f : 15	4f (c) 85 4f (t) 15
Total 94	
1g \rightarrow 3g : 50	3g (c) 76 3g (t) 3
1g \rightarrow 4g : 14	4g (c) 18 4g (t) 3
Total 64	
1h \rightarrow 3h : 73	3h (c) 100
1j \rightarrow 3j : 47	3j (c, c') 100
1j \rightarrow 4j : 13	4j (c, c') 100
Total 60	

Schema 8

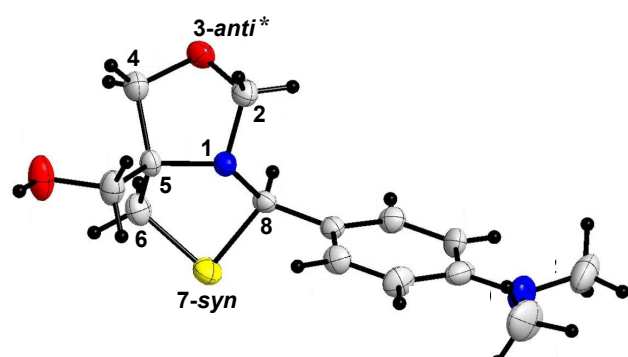


Figura 1
Structura moleculară a compusului **3h**

Drept urmare, totalitatea acestor observatii a facut obiectul propunerii de catre noi a cel putin patru modele de mecanism de reacție prin sinteza asimetrica, plauzibile, permitand inclusiv posibilitatea de a dovedi, prin analize RX, diastereoselectivitatea observate, de exemplu in cazul structurii moleculare a compusului **3h** (Figura 1, prima de acest fel cunoscuta in clasa de compusi biciclici analizata).

Rezultate lăvrate, articole:

"*Novel 1,3-Thiazolidines. Synthesis of 2-Aryl-4,4-Bis(Hhydroxymethyl)-1,3-Thiazolidines by Direct Thioaminalisation*"

C. Morar, C. Sacalis, P. Lameiras, I. Bratu, O. Moldovan, Y. Ramondenc and M. Darabantu*

Stud. U. Babes-Bol. Che. **2012**, LVII, 4, 145-156

"*Synthesis and stereochemistry of new 1,3-thiazolidine systems based on 2-amino-2-(mercaptopethyl)propane-1,3-diol: 4,4-bis(hydroxymethyl)-1,3-thiazolidines and c-5-hydroxymethyl-3-oxa-7-thia-r-1-azabicyclo[3.3.0]octanes*"

C. Morar, C. Sacalis, P. Lameiras, A. Soran, H. Khartabil, C. Antheaume, I. Bratu, O. Moldovan and M. Darabantu*

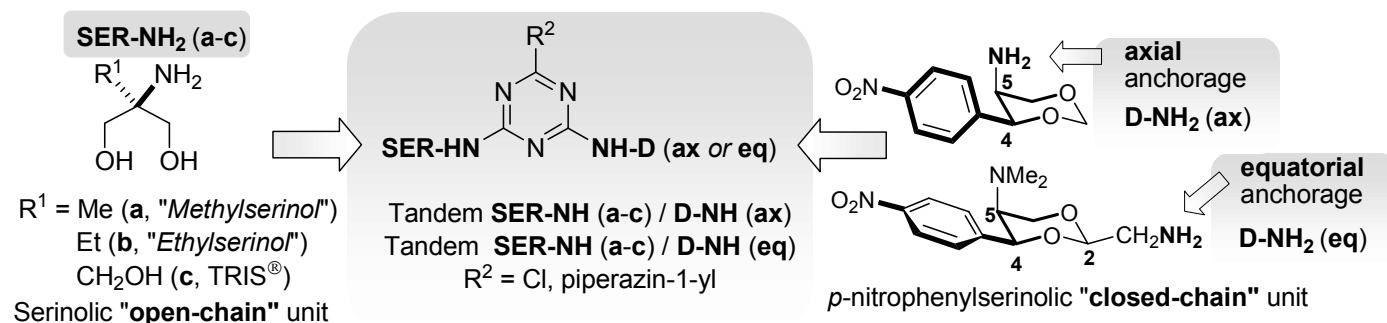
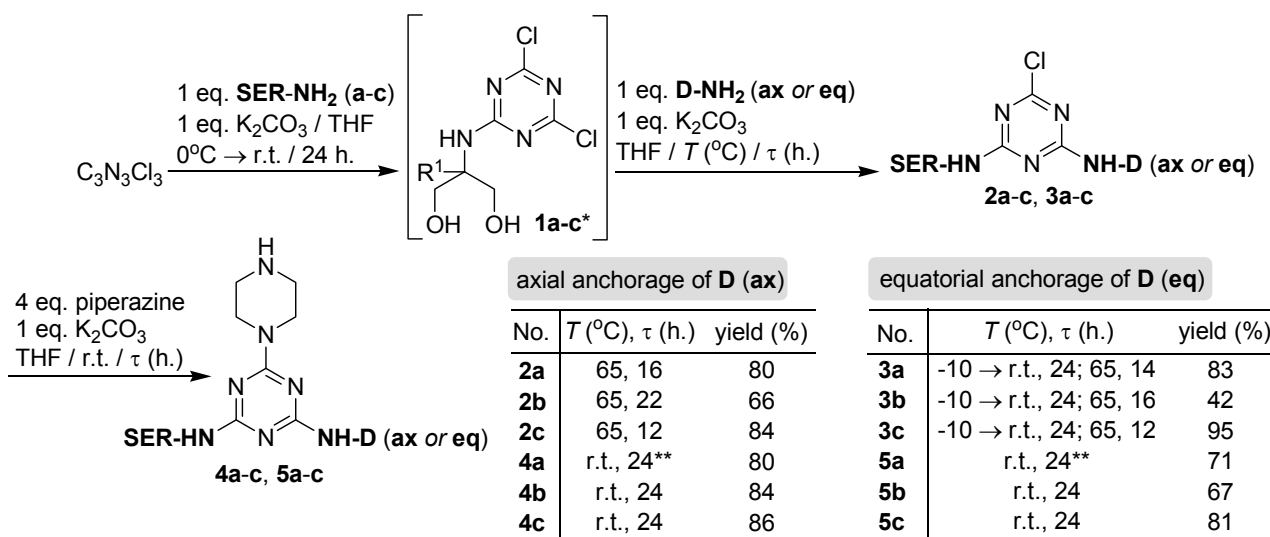
Tetrahedron **2013**, DOI: 10.1016/j.tet.2013.09.070

Articolele ilustrarea si colaborarile internationale angajate in Propunerea de Proiect (Tabel 17, pag. 16).

D-3

Design-ul, sinteza si analiza structurala a unor melamine spirodendritice avand ca si unitati periferice tandemurile / serinoli C-2 substituiti / amino-1,3-dioxani ai (1S,2S)-2-amino-1-(4-nitrofenil)propan-1,3-diolului ("p-nitrofenilserinolul")

In cadrul acestei directii, a fost preliminar analizata atasarea, prin aminoliza chemoselectiva, a unitatilor periferice din titlu la clorura de cianuril cu obtinerea dendronilor G-0 clorurati (2-cloro-4,6-diamino-s-triazine N-substituite cu fragmentele serinolice aferente) respectiv melaminelor G-0 (atasarea non-simetrica a primului *linker*, piperazina) (Schema 9, 10).

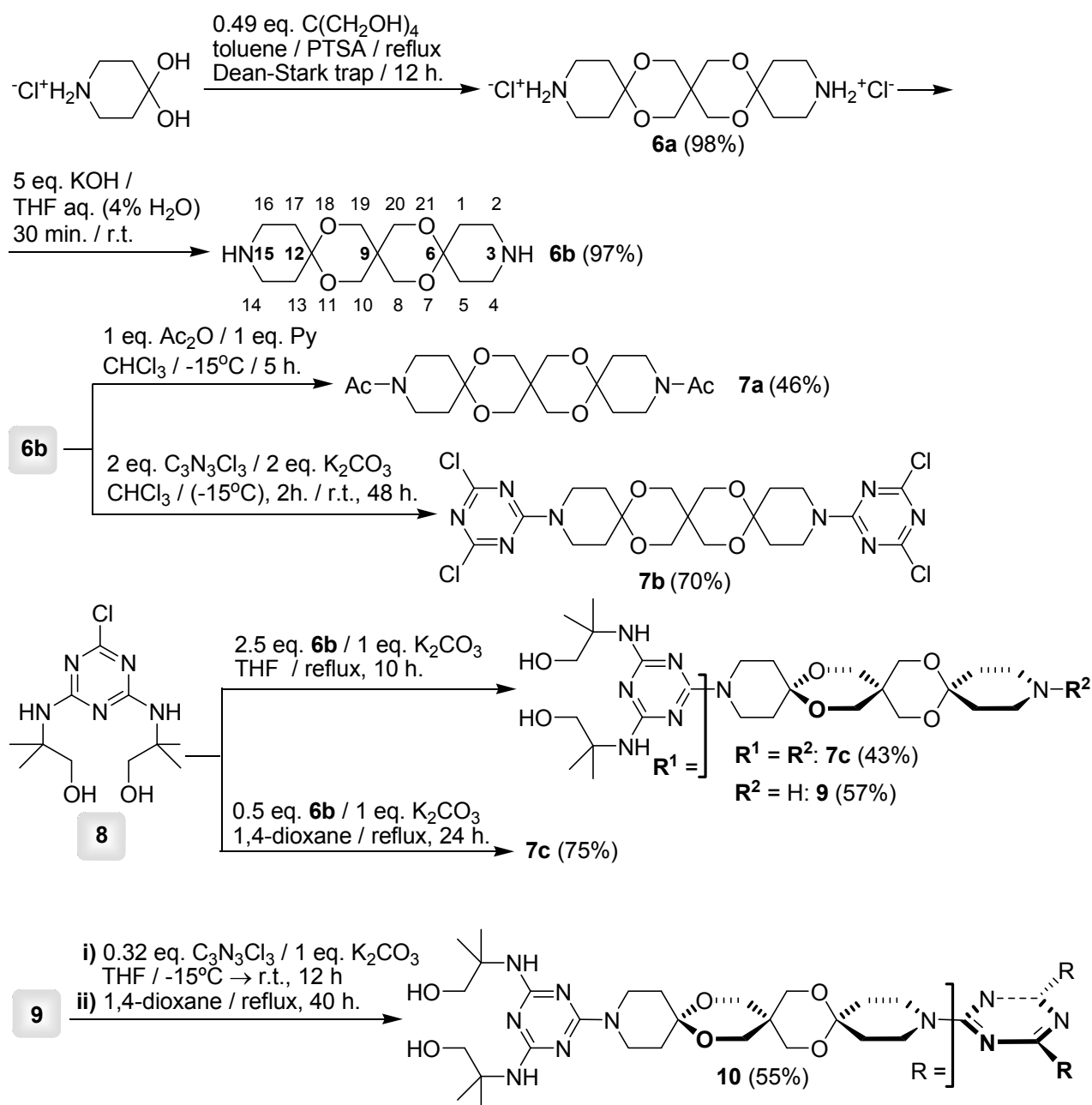
**Schema 9**

*not isolated

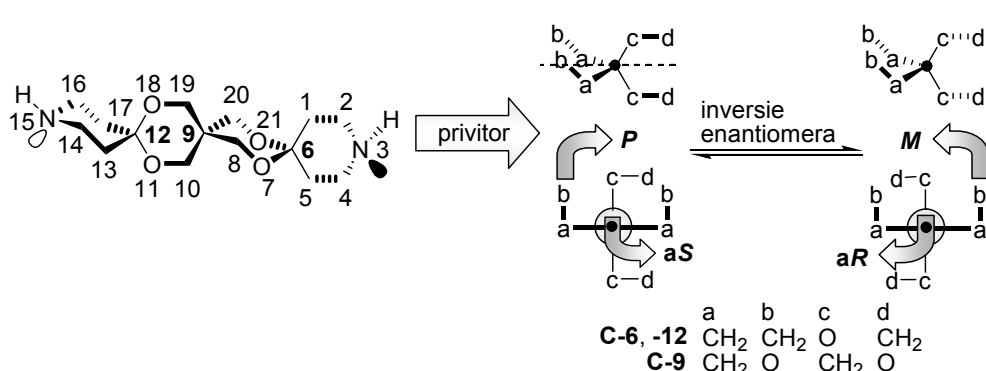
**5×0.2 eq. 2a-c or 3a-c added portionwise each 2 h.; the completion of reaction required additional 14 h.

Schema 10

S-a optimizat calea de sinteza a celor doua serii de melamine **4** si **5** vazute ca si *building-block*-uri dendritice G-0 pentru iteratiile ulterioare. De mentionat ca chimismul nostru a stabilit ordinea grefarii aminonucleofililor pe scheletul s-triazinic, **SER-NH₂ (a-c)** → **D-NH₂ (ax sau eq)** → piperazina. Ea tine cont de scaderea, in acelasi sens, a solvatorii nucleofililor ca si de necesitatea chemoselectivitatii ultimei aminari. Investigatiile structurale bazate calcule DFT si (TV) RMN au relevat fenomene inedite, toate derivand din caracterul de legatura partial dubla a conexiunilor C(s-triazina)-N(exociclic). Dintre acestea, mentionam aici doar comportarea stereodinamica de tip Ar-N< "rotor molecular" a clorodiamino-s-triazinelor **2a-c** si **3a-c** ("molecular mills") manifestata prin existenta, la temperatura ambianta, a unor echilibre rotacionale inghetate de patru termeni. "Activarea" lor seceventiala, pe intervalul r.t. → 80 (90) °C, s-a aratat viabila, in totalitate, doar in ceea ce priveste *N*-ligandul 1,3-dioxanic. In aceasta etapa a cercetarii, s-a trecut la elaborarea de "molecule model", continand motivul 7,11,18,21-tetraoxa-3,15-diazatrispiro[5.2.2.5.2.2]heneicosanic, in fond o trispirobis(piperidina tetraacetalica, cu rol de *linker*, nedescris astfel in literatura melaminelor dendritice. Asa dupa cum se arata in Schema 11, sintezele "moleculelor model" si analizele lor structurale s-au dovedit foarte relevante deoarece:



- i) nou *linker* imaginat de catre noi, **6b**, este foarte usor accesibil si cu randament excelent.
- ii) nou *linker* poate fi convertit, "in context s-triazinic", intr-o varietate de derivati, in mod chemoselectiv (**6b** \rightarrow **7b**, **8** \rightarrow **9**), fapt care permite utilizarea sa in sinteza iterativa, e.g. prepararea primei melamine dendritice de generatie G-1 (tris)trispiranica, **10**.
- iii) analiza conformationala a compusilor **7a** si **7c** a relevat existenta, la temperatura ambianta, a chiralitatii axiale in trispirani datorata implicarii atomilor N-3, -15 in legaturi partial duble de tip amidic $-\text{NH}-\text{C}(=\text{O})-$ \leftrightarrow $-\text{NH}^+=\text{C}(-\text{O})-$ (**7a**) sau amidinic $>\text{N}-\text{C}(=\text{N})-$ \leftrightarrow $>\text{N}^+=\text{C}(-\text{N}^-)-$ (**7b**, **7c**).
- Nu in ultimul rand, mentionam lansarea de catre noi a unei noi abordari asupra chiralitatii spiranilor cu cicluri hexaatomice saturate, exemplificata, in cazul *linker*-ului **6b**, in Schema 12.



Astfel, datorita conformatiei stable scaun a inelelor hexaatomice saturate (flexibile sau rigide din punct de vedere conformational) se definesc, de catre noi :

- i) ca si *chirali* atomii de carbon spiranici tetracoordinati fie cu patru liganzi identici, e.g. C(9) ca si $C(CH_2-O)_4$, fie cu doua perechi diferite de liganzi identici, e.g. C(6) si C(12), ca si $C(CH_2-CH_2)_2(O-CH_2)_2$.
- ii) ca si *axa pseudo-alenica de chiralitate configurationala* cea care mediaza pozitiile N(3)~C(6)~C(9)~C(12)~N(15) ai carei liganzi heteromorfici terminali sunt cei din pozitiile N(3) si N(15), atomul de hidrogen si perechea de electroni neparticipanti aferenta. De exemplu, stereoizomerul ales in Schema 12 este complet definit ca si **M** (in raport cu *axa pseudo-alenica de chiralitate configurationala*), apoi 6-M, 9-M, 12-P (in raport cu *chiralitatea conformationala* a celor trei atomi de carbon spiranici).

Rezultate livrate:

i) Articole:

"New Serinolic Amino-s-triazines by Chemoselective Amination of Cyanuric Chloride and their (Pro)diastereomerism in Restricted Rotational Phenomena"

O. Moldovan, P. Lameiras, E. Henon, **F. Popa**, A. Martinez, D. Harakat, **C. Sacalis**, Y. Ramondenc and **M. Darabantu***

Centr. Eur. J. Chem., 2012, 10(4), 1119-1136; <http://link.springer.com/article/10.2478/s11532-012-0015-4>

"Stereochemistry of six-membered spiranes arising from the first use of a diaza-trispiro-heneicosane motif in the synthesis of a G-1 dendritic melamine"

O. Moldovan, P. Lameiras, **I. Nagy**, T. Opruta, **F. Popa**, C. Antheaume, Y. Ramondenc and **M. Darabantu***

Tetrahedron, 2013, 69 (4), 2199–2213; <http://dx.doi.org/10.1016/j.tet.2012.12.059>

"Synthesis and photophysical properties of push-pull structures incorporating diaazines as attracting part and fluorene core"

C. Denneval, **O. Moldovan**, C. Baudequin, S. Achelle, P. Baldeck, N. Plé, **M. Darabantu** and Y. Ramondenc

Eur. J. Org. Chem. 2013, 25, 5591-5602; <http://DOI: 10.1002/ejoc.201300458>

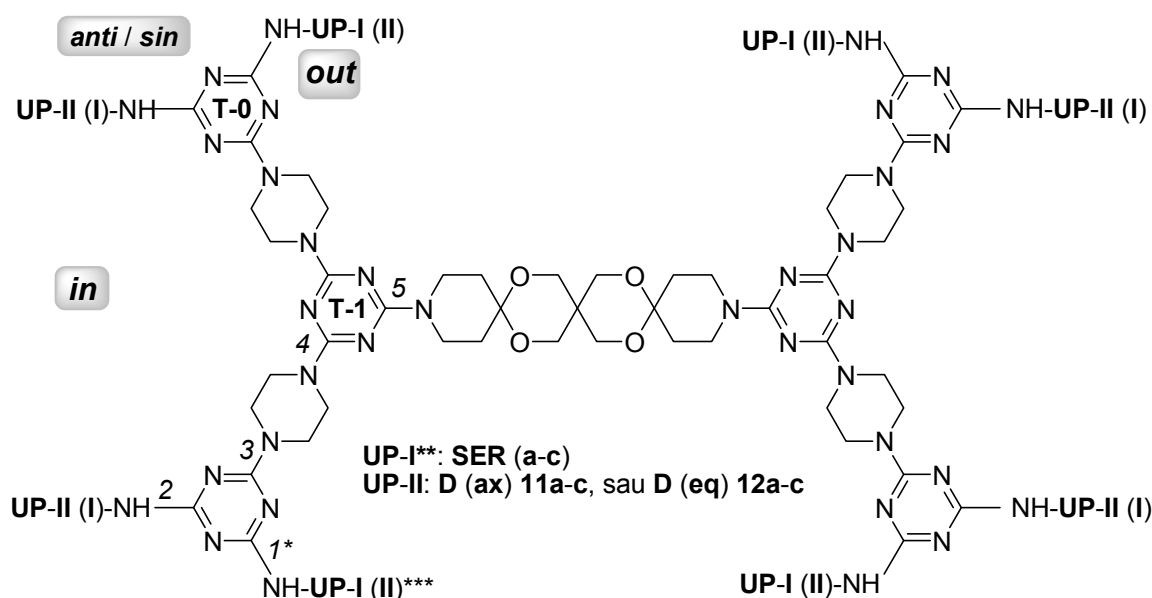
ii) Academice

Lucrarile la care s-a facut referire constituie Capitole distincte din Teza de Doctorat in Cotutela a unui Membru al Echipei, ing. Salomie Oana MOLDOVAN (cas. GRAD) (sustinere publica, Juriu International, 22.11.2012, UBB Cluj-Napoca, Calificativul Doctoral acordat *Magna cum Laude*, OMECTS 3250MD din 20.02.2013; originalul in Lb. Franceza).

Articolele si Teza de Doctorat ilustrarea si colaborarile internationale angajate in Propunerea de Proiect (Tabel 17, pag. 16).

Cercetare nepublicata (experimental in curs, Manuscrise in curs de redactare etc):

Sinteză si analiza structurală a unor dendrimeri melaminici dimeri G-1 trispiranici având ca si unitati periferice tandemurile SER (a-c) / D (ax sau eq) (asa cum sunt acestea din urma definite in Schema 10) (Schema 13-16)

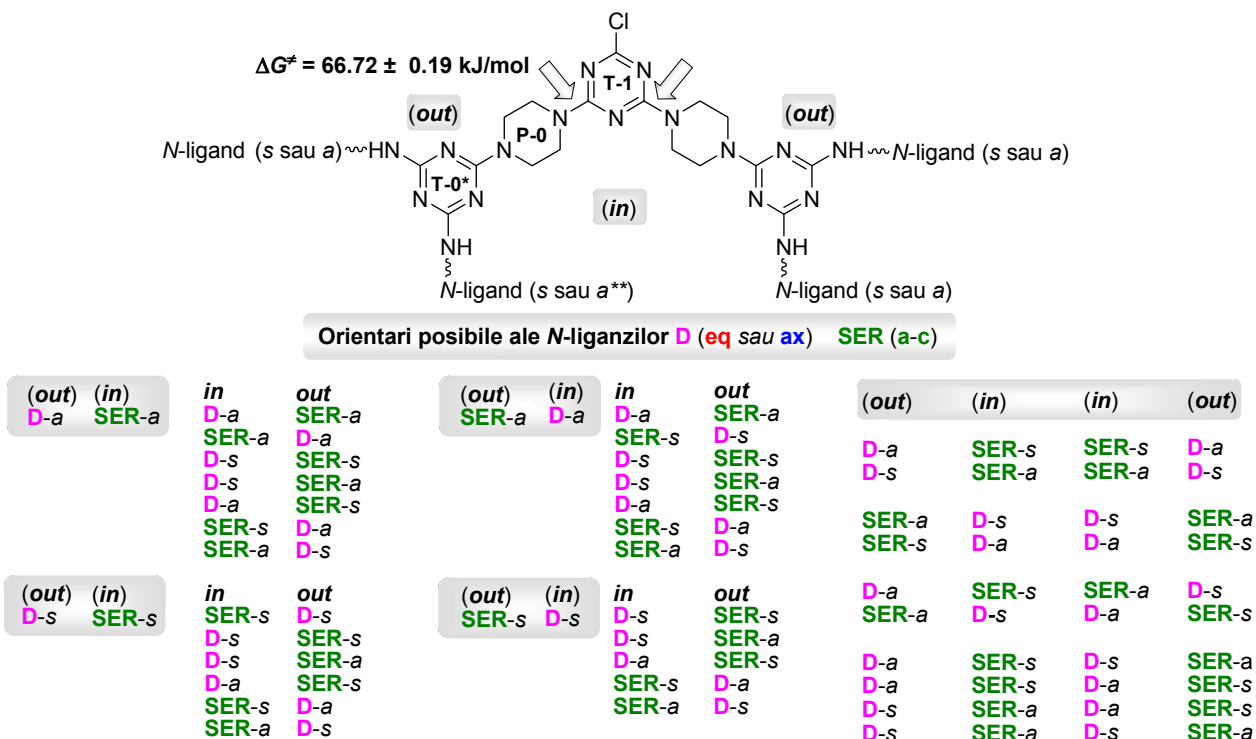


*numarul iteratiei (multiplicitatea ei nu este luata in considerare, e.g. 4 reprezinta un duplicat); **UP: Unitati Periferice;
***I sau II ≠ II sau I

Schema 13

Etapa de *fezabilitate* a sintezelor a fost depasita, prin aceea ca doar utilizarea tandemurilor de **Unitati Periferice UP-I: SER (a-c) / UP-II: D (ax)** (seria **11a-c**) a fost viabila si *reproductibila* cu randamente globale (5 iteratii) de 12% (**11a**), 12.5% (**11b**) si 29% (**11c**). Din seria de tandemuri **12**, **UP-I: SER (a-c) / UP-II: D (eq)**, doar termenul **SER** (provenit din TRIS, "c") / **D (eq) 12c** a dat rezultate notabile, randament global 26%, dar *neinteresante structurale* (vezi mai departe). *Fezabilitatea* a constat si din faptul ca, fata de Propunerea de Proiect, numarul de iteratii a trebuit redus la 7 la 5, i.e. dimerii dendronici obtinuti sunt de tip $(G-1)_2L$ si nu $(G-2)_2L$ (vezi Propunerea de Proiect, Tabel 17, pag. 16). Esecul dimerizarii (iteratia 5) in cazul implicarii seriei de tandemuri **UP-I: SER (a, b) / UP-II: D (eq)** pare sa aiba motivatii structurale, inca neelucidate, asa cum se va arata mai departe, desi randamentele globale pe 4 iteratii (\rightarrow dendron G-1-clorurat) s-au inscris in linia generala a fezabilitatii, 33.5% (SER a), 21% (SER b).

Pe de alta parte, analiza topologica a rotameriei in jurul legaturilor partial duble C^{sp2}(s-triazina)-N(exociclic) in cazul precursorilor G-1 clorodendronici ai seriilor **11** si **12** (Schema 14) indica *complicatii structurale usor de anticipat chiar in absenta oricarei sinteze*.



*s-Triazina si Piperazina, conform generatiilor **0** sau **1**

**descriptorii stereochemici s (syn) si a (anti) se refera la orientarile N-liganzilor vizavi de piparazina P-0 in jurul legaturilor partial duble C(s-triazine T-0)-NH<

Schema 14

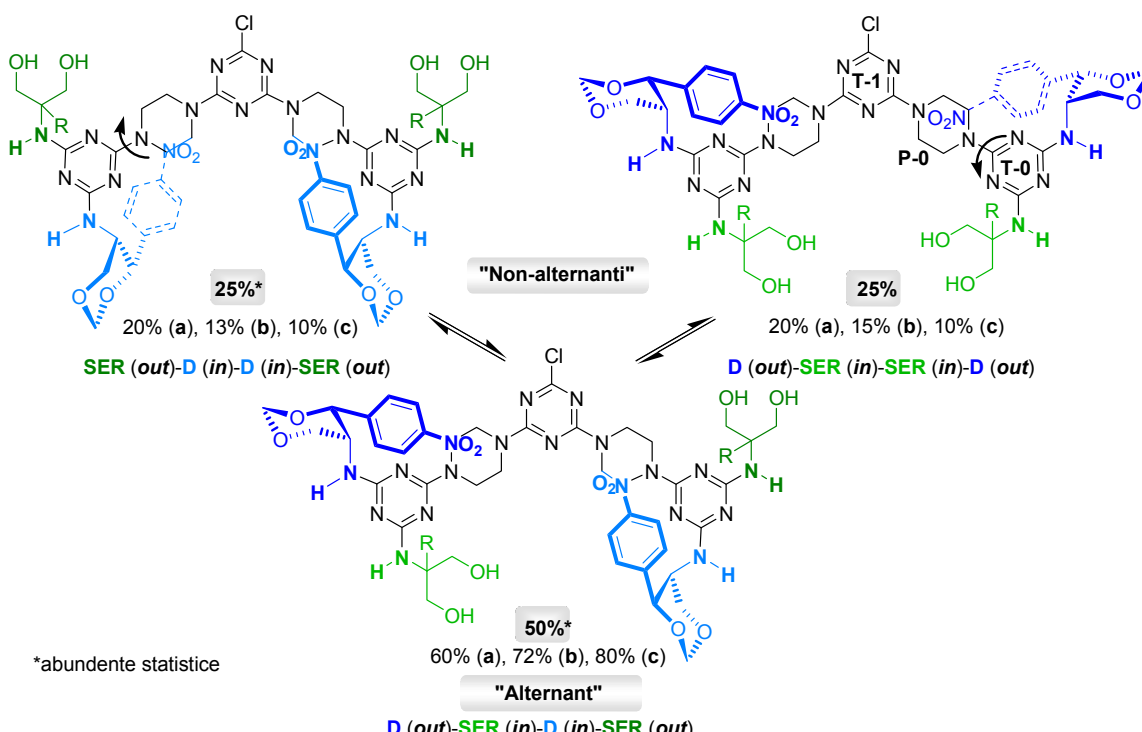
Sunt posibile nu mai putin de 36 de specii rotamericice, partial "inghetate" la temperatura ambienta:

i) in jurul conexiunilor C(s-triazina T-0)-NH (exociclic) (rotamerism oarecum "traditional" dar *local sin / anti*)

ii) in jurul conexiunilor C(s-triazina T-0, -1)-N(exociclic) (rotamerism *global*, intitulat de catre noi *in / out*).

Abordari similare in literatura nu se cunosc. Experimentele (TV) RMN, 2D-¹H, ¹H-NOESY si 2D-¹H DOSY au aratat, in cazul N-liganzilor **UP-I: SER (a-c) / UP-II: D (eq)** *orientarea nepreferentiala* a acestora si, ca atare, lipsita de interes ulterior.

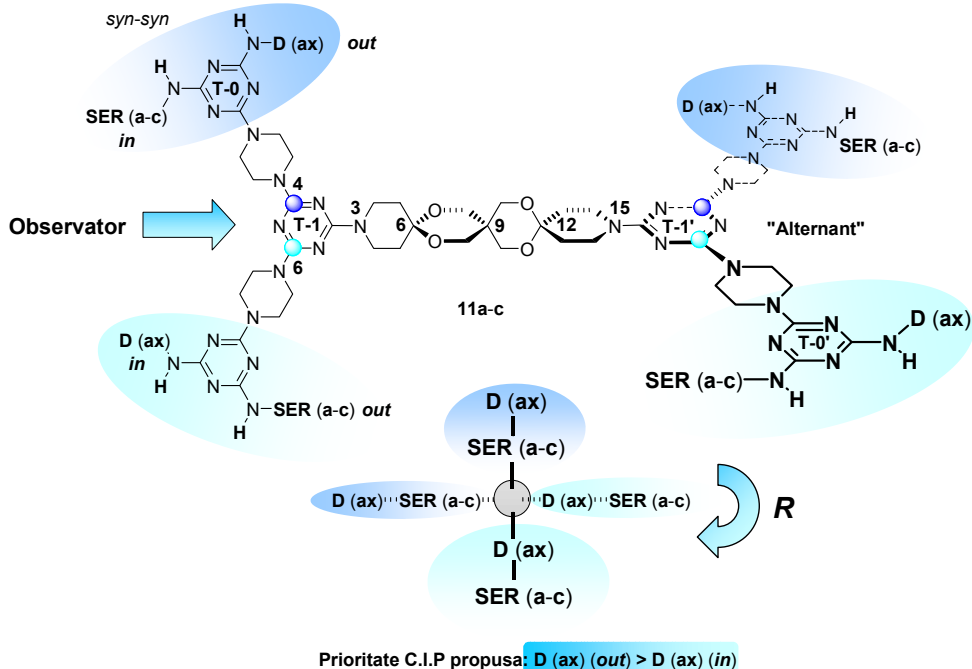
Dimpotrivă, in cazul tandemului de N-liganzi periferici **UP-I: SER (a-c) / UP-II: D (ax)** a fost observata, *in toate cele trei cazuri a-c* *diastereoselectivitate rotationala locala sin / sin totala*, numarul de stereoisomeri din Schema 14 reducandu-se, astfel, la doar 3 (trei), datorita aranjamentului rotational *global in / out*. Inca mai suprinzator, si acesta din urma a *relevat o stereoselectivitate notabila, diferita de statistic*, asa cum se arata in Schema 15.



Schema 15

O explicatie plauzibila dar *nespeculativa* a acestei situatii este in curs de elaborare.

Daca este asa, in cazul seriei de dimeri spirodendritici **11a-c**, analiza prin ^{13}C RMN a pus in evidenta anizocronia pozitiilor C-4⁽ⁱ⁾, - 6⁽ⁱ⁾ din s-triazinele de generatie **T-1**, -**1'** (Schema 16) adica combinarea preponderenta a unitatilor "monomerice" aranjate sub forma rotamerilor "alternanti" (Schema 15). Faptul induce chiralitatea axiala a intregii arhitecturii dendritice.



Schema 16

Concepțe similare în literatură nu sunt cunoscute.

Notam, în final, utilizarea "moleculelor model" care ne-au permis formularea concluziilor de mai sus:

- 2-cloro-4,6-diamina-s-triazina piperidonica **1a** (Schema 1) simulează zona centrală, 2-cloro-4,6-diamino-s-triazinica (**T-1**) din dendronii G-1 clorurati **11** sub aspectul stereodinamismului rotational în jurul conexiunilor: $\text{C}^{\text{sp}2}(\text{s-triazina})-\text{N}(\text{piperidona}, \mathbf{1a})$ simulează $\text{C}^{\text{sp}2}(\text{s-triazina})-\text{N}(\text{piperazina})$ (Schema 15).
- diaminotrispiranii tetraacetalici N-3, -15 derivatizati simetric **7a** si **7c** (Schema 11) simulează zona centrală din dimerii spirodendritici simetrichi **11a-c** (Schema 16).

Sinteză și analiza structurală a unor dendrimeri melaminici dimeri G-1 trispiranici, trimeri G-2 (tris)trispiranici și trimeri G-2 (hexa)trispiranici având ca și unități periferice tandemul D (ax) / D (eq) (asa cum sunt acestea din urma definite în Schema 10)

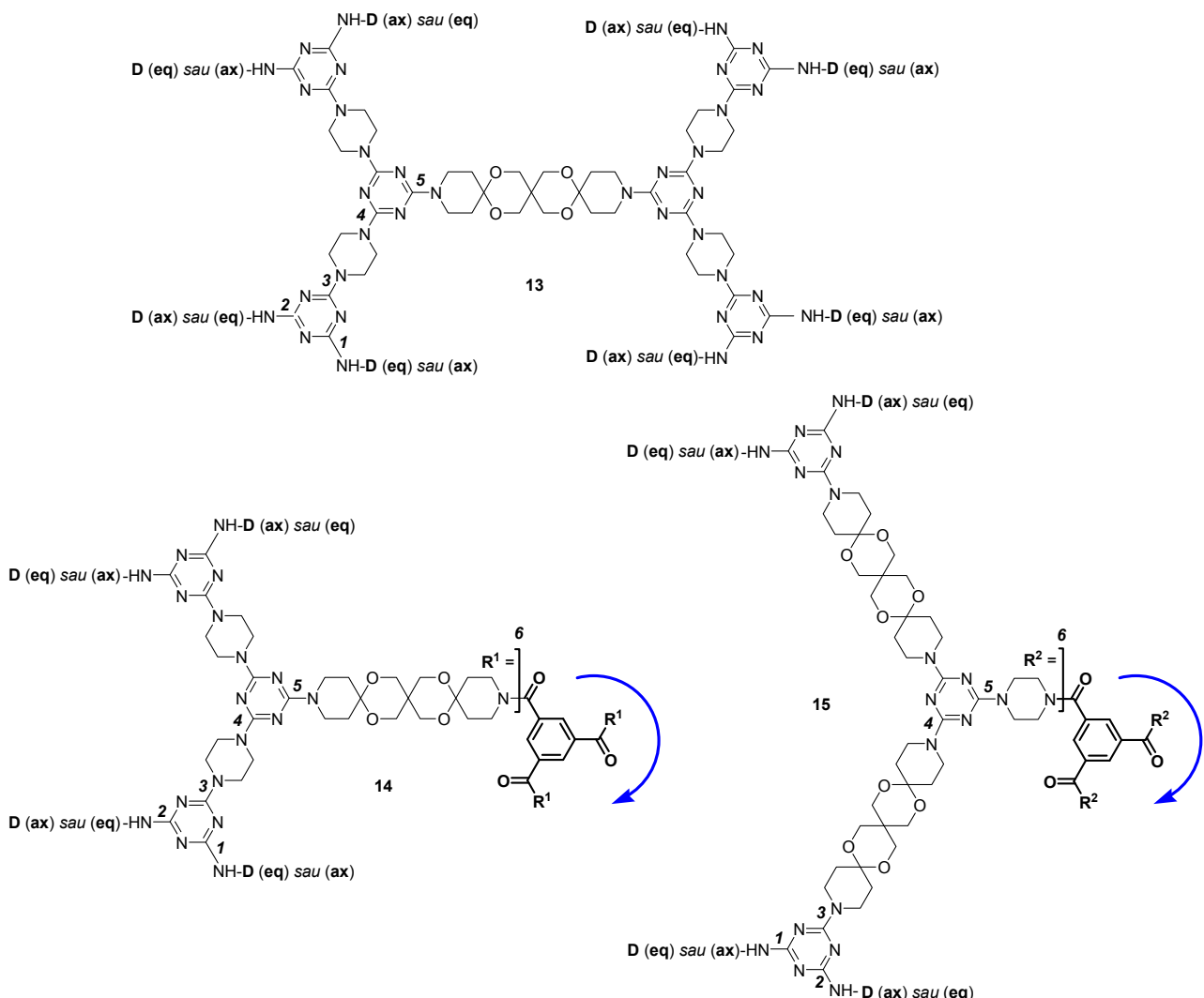
Explorarea tandemului din titlu ne-a fost inspirată de rezultatele obținute în cazul perechilor "open-chain unit" / "closed-chain unit" (Schema 10). Înca în fază de tatonare, s-a observat faptul că tandemul **D (ax) / D (eq)**, i.e. "axially anchored closed-chain unit" / "equatorially anchored closed-chain unit" are o comportare stereodinamică diferită de cele deja examineate și necesită o tratare și discuție separate (Schema 17).

Dendrimerul trispirdendritic dimer G-1 **13** se află în fază de *fezabilitate* a sintezei, randamentul global a primelor 4 *iteratii* fiind de 48% (cca. 83% / *iteratie*). Precursorul G-1 clorurat (format în *iteratia 4*) a prezintat fenomene rotationale specifice, deja întâlnite (Schema 15).

Dendrimerul (tris)trispirdendritic trimer G-2 **14** se află în fază de *reproductibilitate* a sintezei, randamentul global pe cele 6 *iteratii* fiind în jur de 11% (cca. 70% / *iteratie*). În Figurile 1-5 sunt redate analizele doveditoare ale identitatii și puritatii sale structurale.

În legătură cu aceasta sinteza, trebuie observate:

- i) *Ancorarea non-simetrică a linker-ului trispiranic (**6b**, Schema 11, *iteratia 5*, Schema 17), anticipată deja pe "compusul model" **9** (Schema 11) fară ca vreo etapă de protejare-deprotejare a diaminei să fie necesară. Know-how-ul acestei reușite, necunoscut în literatură, este încă mai surprinzător dacă se compara randamentele acelorași etape: 57% (**8** → **9** "compusul model", Schema 11), 54% (*iteratia 5*, Schema 17).*
 - ii) *In mod diferit* fata de tripla ancorare "model", reușita, a melaminei trispiranice **9** pe core-ul s-triazinic (**9** → **10**, randament 55%, Schema 11), aceeași tentativă în cazul dendronului trispiranic G-1 (Schema 17, *iteratia 6*) a esuat în mod repetat. Drept care, am fost nevoiți să schimbăm strategia, în etapa finală, prin utilizarea clorurii acidului trimesinic (randament 42% în *iteratia 6*, prin neglijarea multiplicitatii). *Mutatis-mutandis*, încercarea de a ancora melamina trispiranica **9** pe clorura acidului trimesinic a esuat, de-asemenea, fapt care indică, *volens-nolens*, limitările utilizării conceptului de "molecule model".
- Legat de structura dendrimerului **14**, fară a intra în detaliu, rezultatele ilustrate în Figurile 4, 5 indică aceeași ambiantă a pozitiilor 2, 4 și 6 de pe nucleul benzenic central, i.e. un aranjament elicoidal, de tip "propeller" (sageata albastră în Schema 17) a ramurilor dendritice, impus de la core-ul 1,3,5-benzotrisamidic.
- Incurajati de acest rezultat, ne-am propus obtinerea unei melamine (hexa)trispirdendritice trimere G-2, prin *inversarea ordinii de introducere a linker-ilor*. În cazul dendrimerului **14**, succesiunea introducerii acestora este piperazina (*iteratia 3*), apoi trispido-bis-piperidin tetraacetalica **6b** (*iteratia 5*). În cazul dendrimerului **15**, se intenționează utilizarea motivului trispiranic **6b** în *iteratia 3* și a piperazinei în *iteratia 5*. Sintiza se află, în momentul de fata, în fază de tatonare-fezabilitate, dificultatile majore fiind întâlnite, inexplicabil deocamdată, în *iteratia 4* (Schema 17). Ca și în cazul dendrimerului **14**, nu este luată în considerare vreo etapă de protejare-deprotejare a linker-ului diaminotrispiranic **6b** (Schema 11).



Schema 17

composé.

MO-40 ESI+ ACN

1102004_31 (0.555) Sm (Mn, 3x4.00); Sb (25,5.00); Cm (4:41)

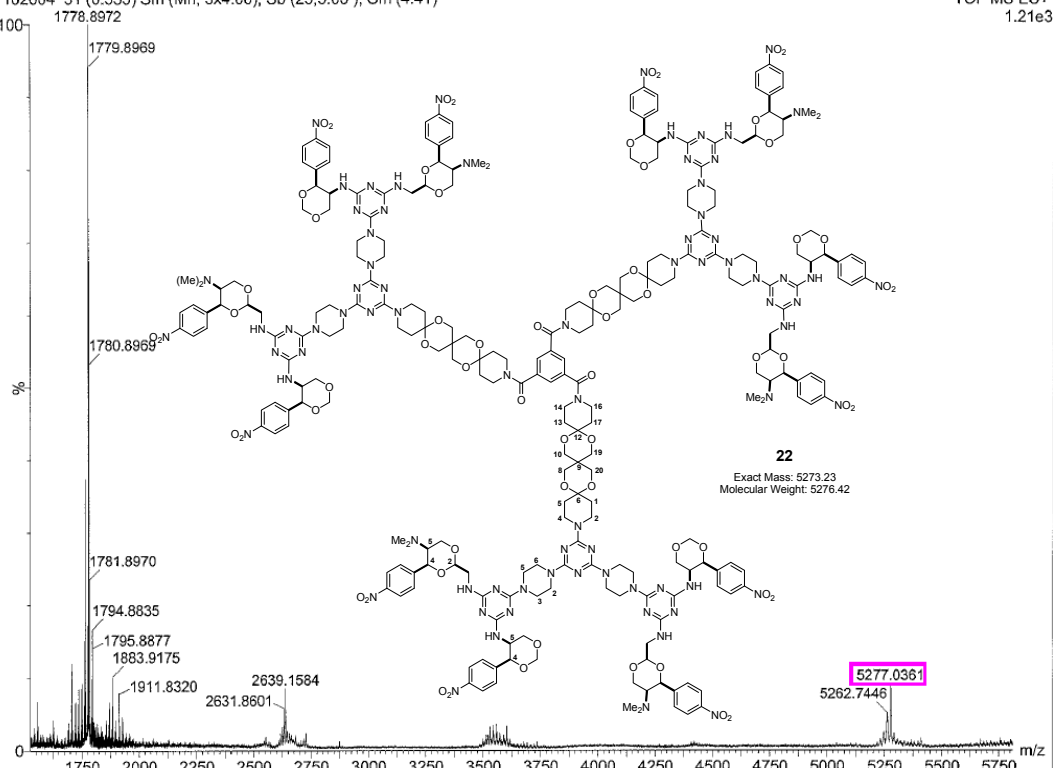
TOF MS ES+
1.21e3

Figura 1. Spectrul de Masa al compusului 14 (ESI+, Acrilonitril)

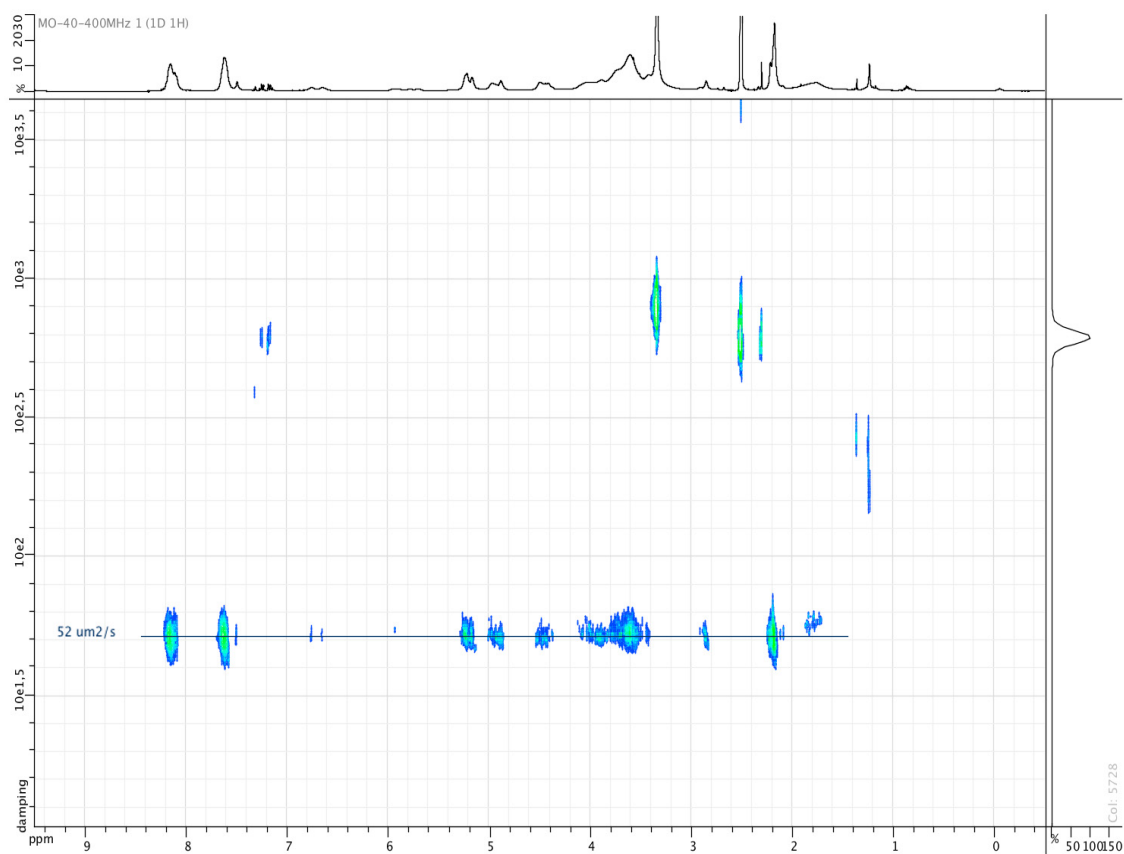


Figura 2. Spectrul 2D DOSY ^1H NMR al compusului **14** (DMSO- d_6 , 400 MHz, 298 K)

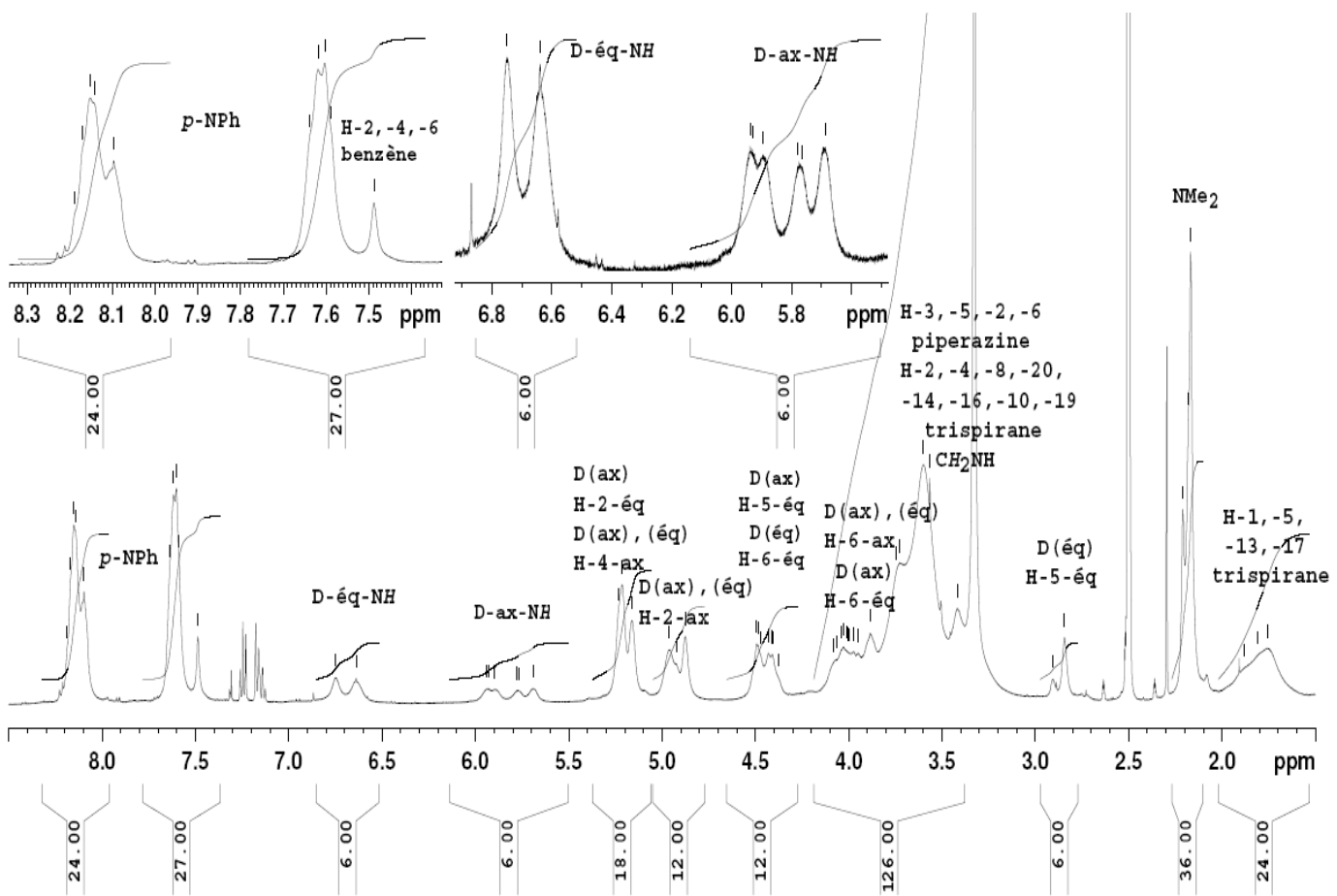
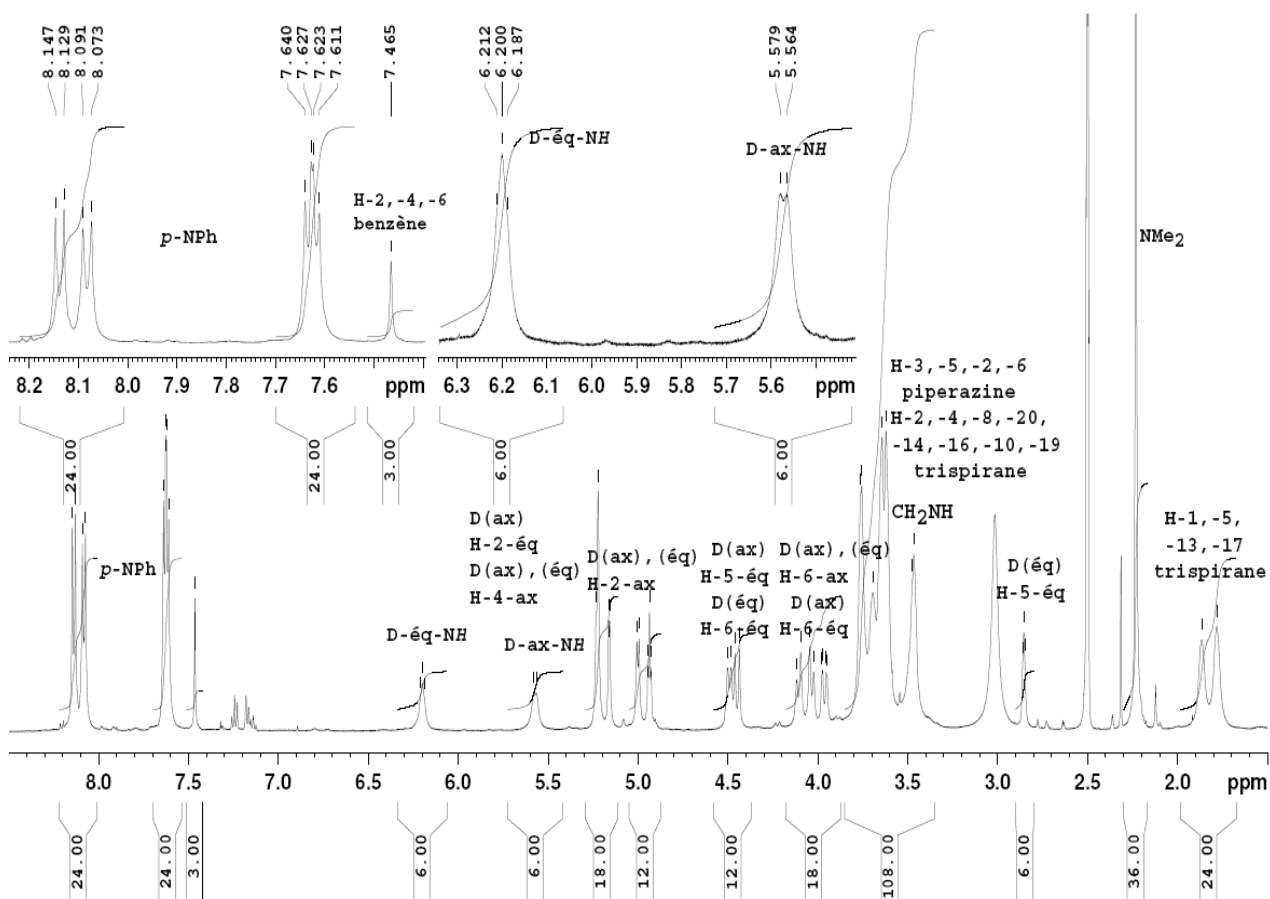
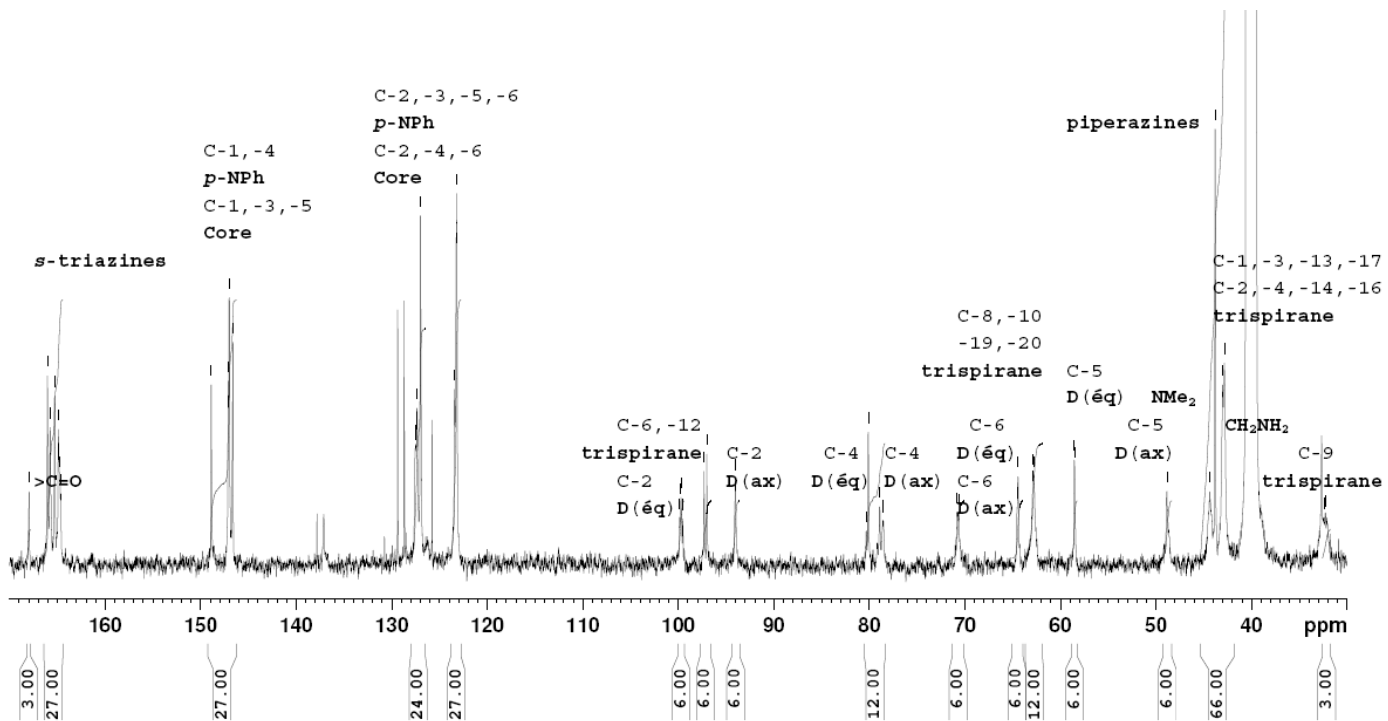


Figura 3. Spectrul ^1H RMN al compusului **14** (DMSO- d_6 , 500 MHz, 298 K)

Figura 4. Spectrul ^1H RMN al compusului 14 (DMSO- d_6 , 500 MHz, 363 K)Figura 5. Spectrul ^{13}C QC RMN al compusului 14 (DMSO- d_6 , 125 MHz, 298 K)

Redactat
Prof. Dr. Ing. Mircea DARABANTU, H.D.R.
Director de Proiect